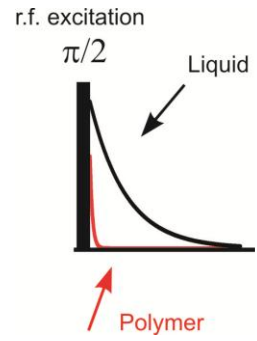


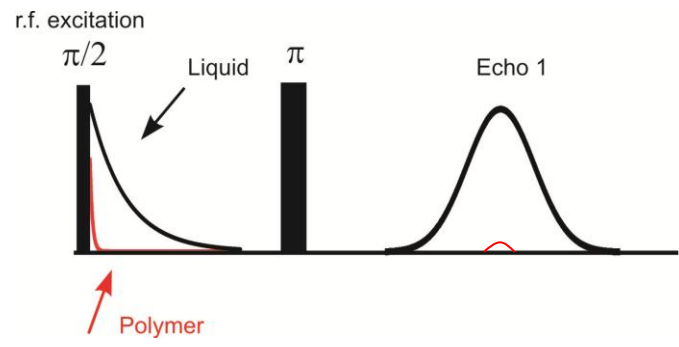
# Determinación de Porosidad por RMN

Determinación de tamaños de poro por:

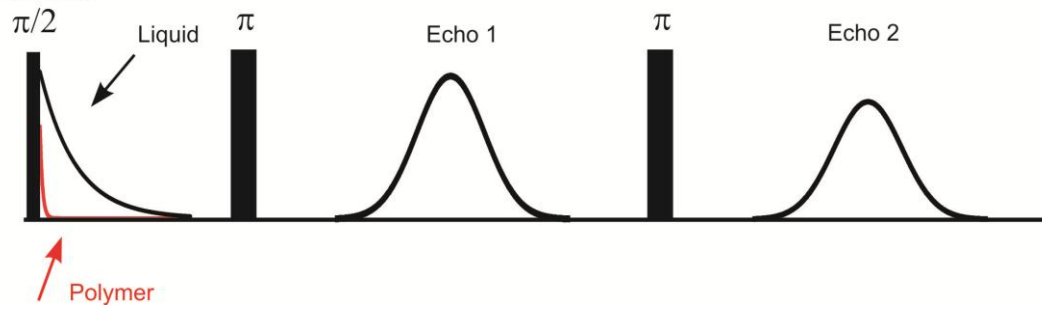
- Difusión restringida
- **Relajación**

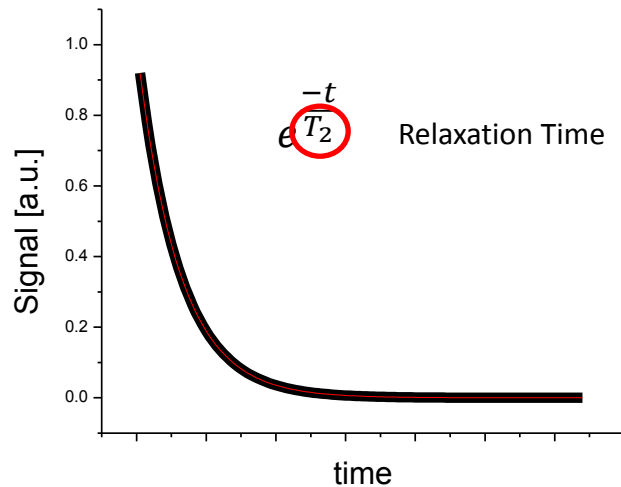
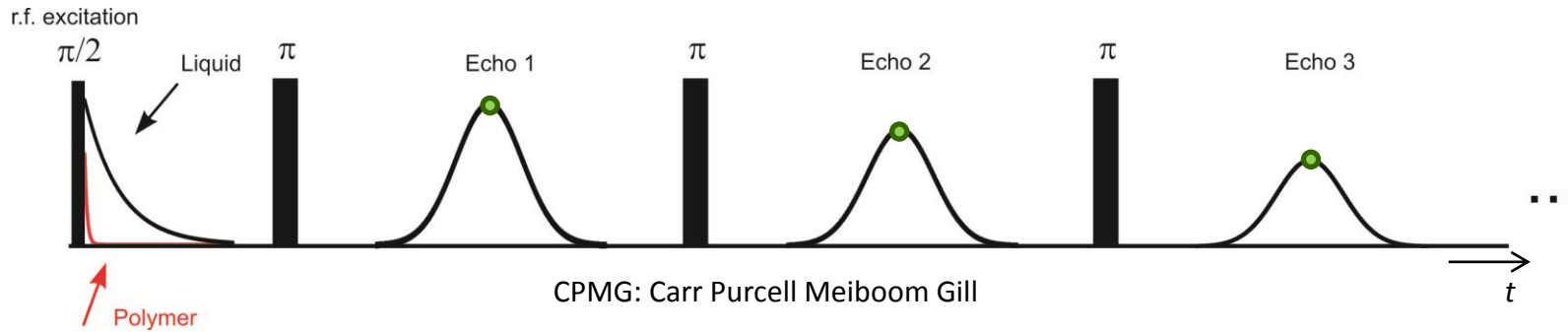
# Medición de $T_2$





r.f. excitation





$$\frac{1}{T_2} = \rho \frac{S}{V} \sim \frac{3\rho}{d} \quad \text{considerando poros esféricos}$$

$\rho$  : coeficiente de relaxitividad superficial. Depende de las interacciones entre el líquido y la superficie de la matriz porosa.

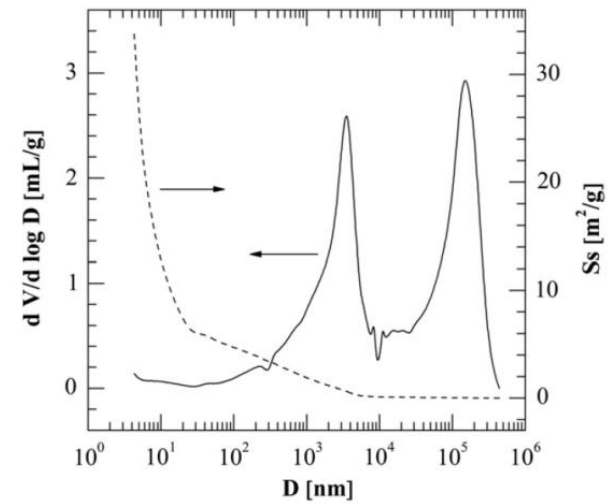
# ¿Estructura (S/V) o funcionalidad ( $\rho$ ) ?

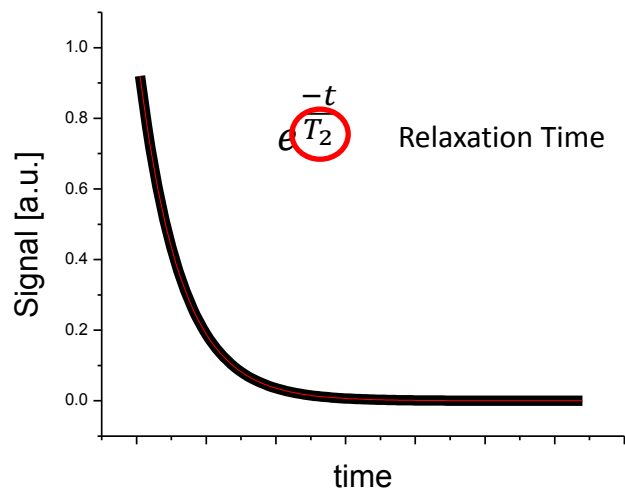
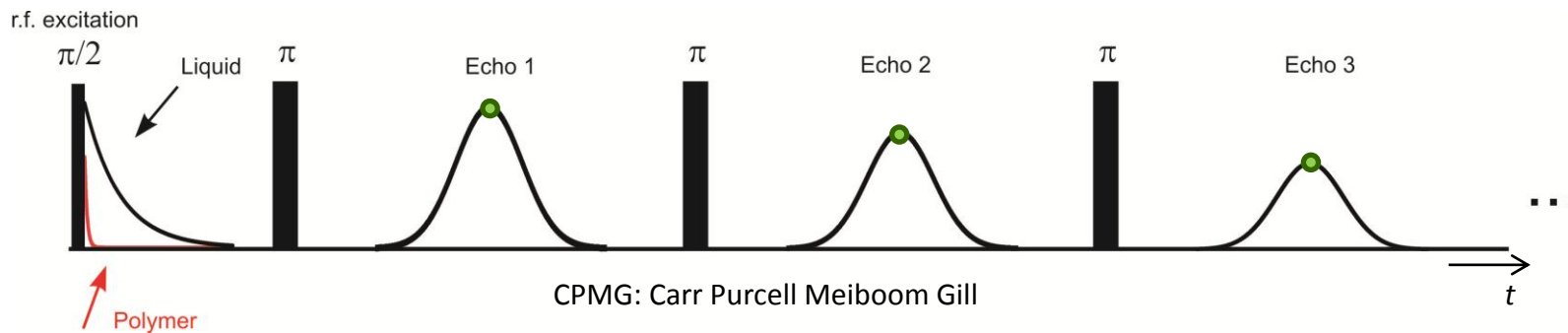
$$\frac{1}{T_2} = \rho \frac{S}{V}$$

$\rho$  conocido  $\rightarrow$  caracterización de subsuelo

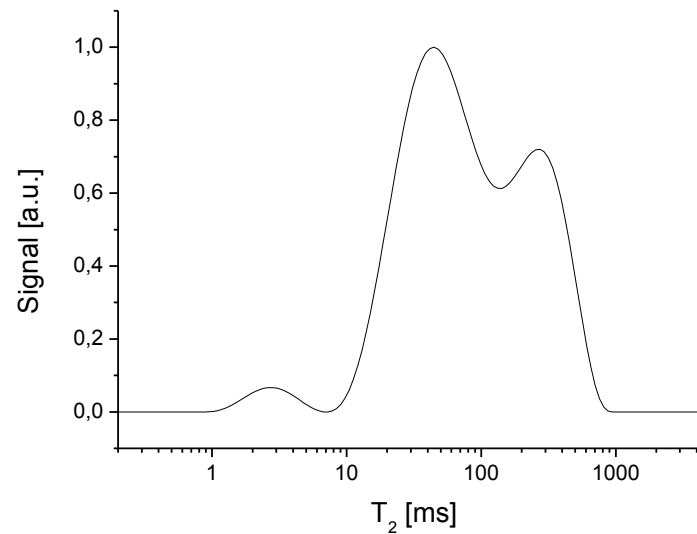


$\frac{S}{V}$  conocido (intrusión de Hg)  $\rightarrow$  interacción líquido/matriz





**Inverse Laplace Transform**



$$\frac{1}{T_2} = \rho \frac{S}{V} \sim \frac{3\rho}{d}$$

# Transformada Inversa de Laplace

Señal temporal:

$$S(t_i) = \sum_k A(T_k) \exp\left(-\frac{t_i}{T_k}\right) + \varepsilon_i$$

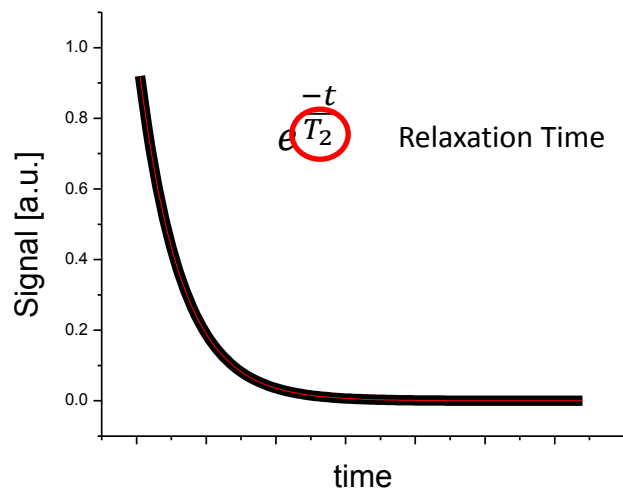
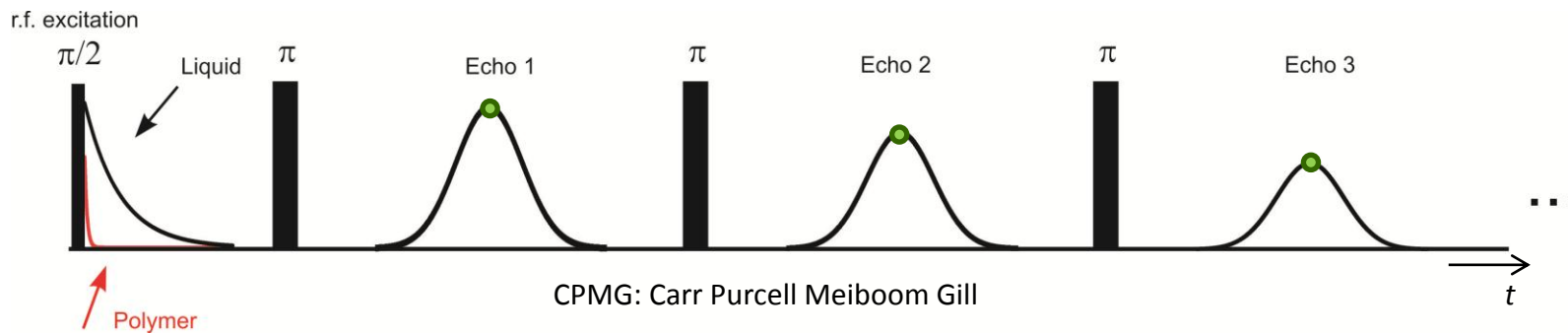
Representación matricial:

$$Y = KX + E$$

Problema mal condicionado, requiere de una constante de regularización:  $\alpha$

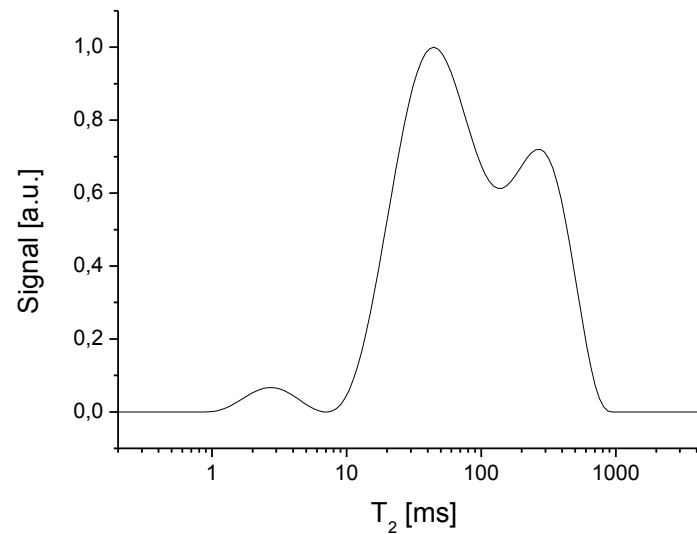
$$\chi^2 = \|KX + E\|^2 + \alpha^2 \|X\|^2$$





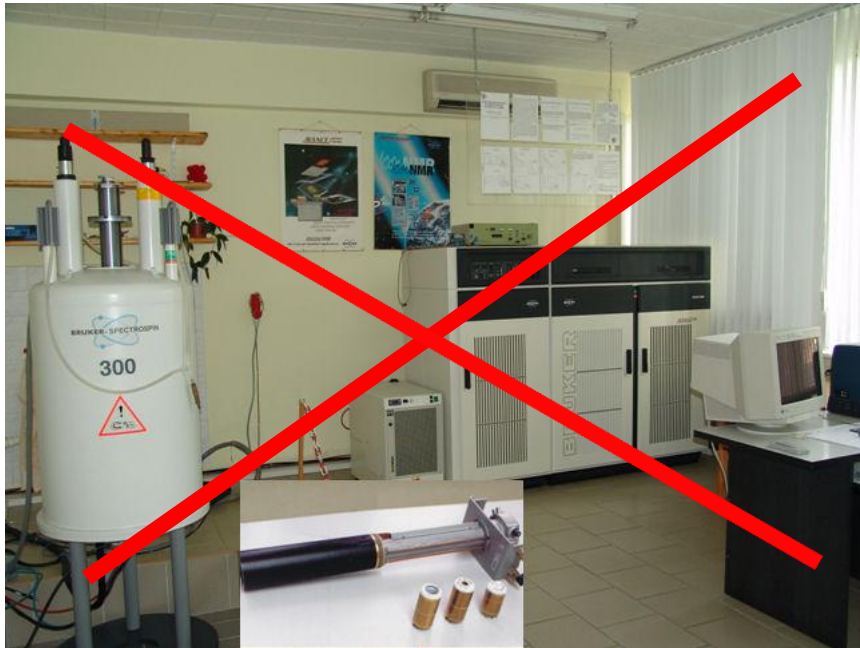
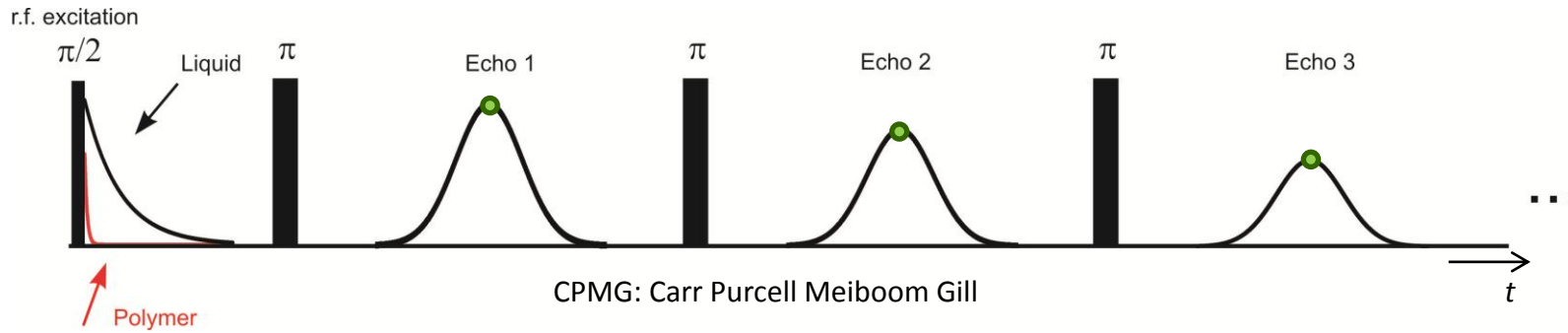
~ 10.000 datos

**Inverse Laplace Transform**



~ 200 puntos

# No se requieren campos altos



7 Tesla

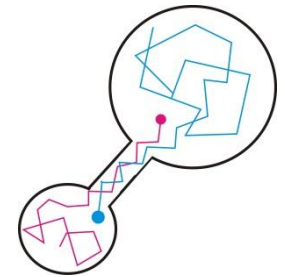
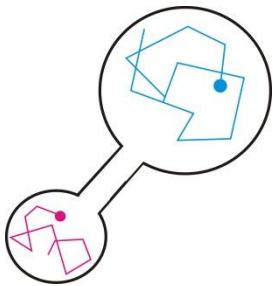
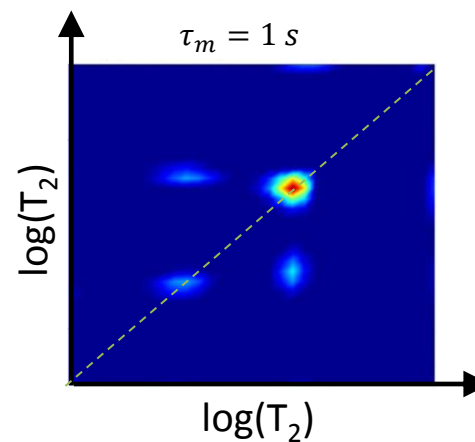
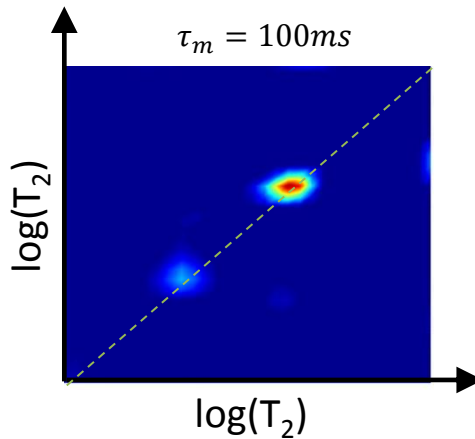
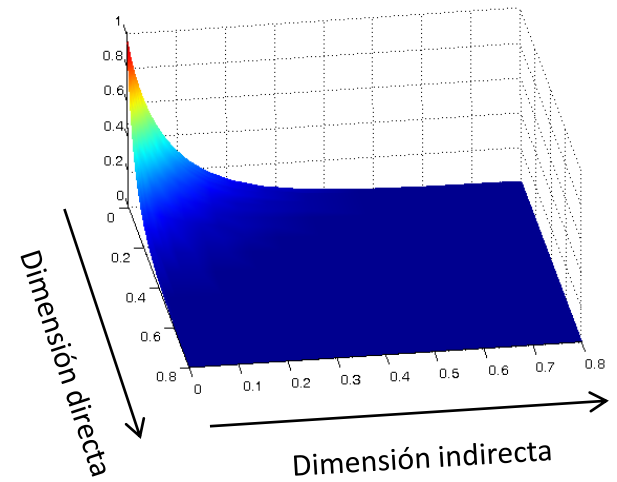
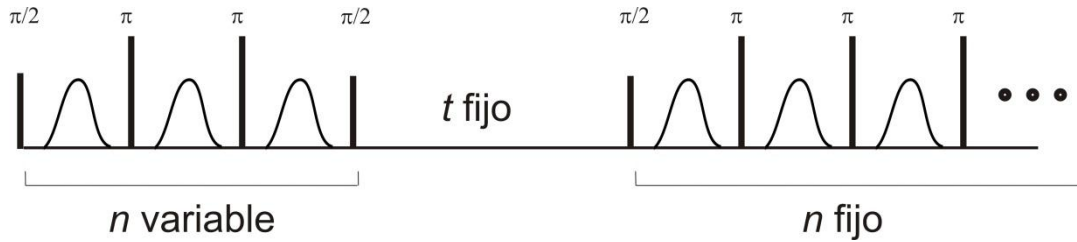


0.5 Tesla



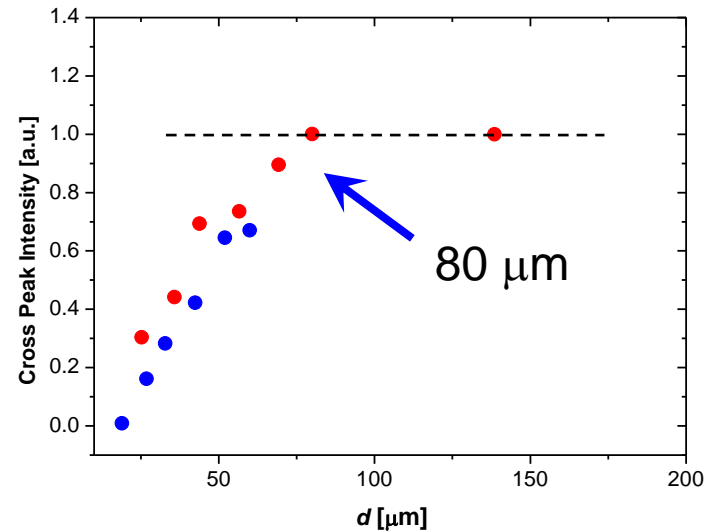
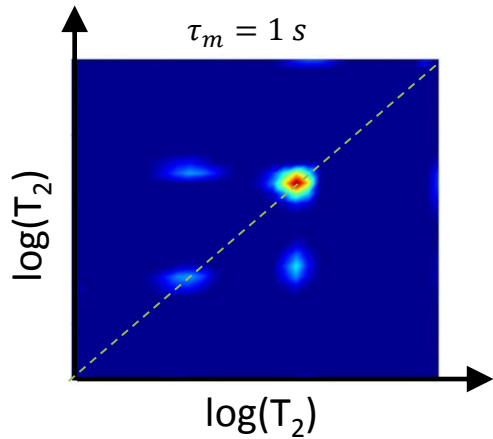
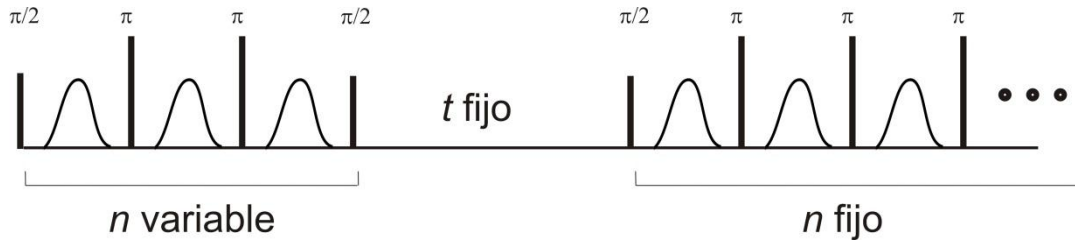
1.4 Tesla

# Mapas bidimensionales. Intercambio: T2/T2



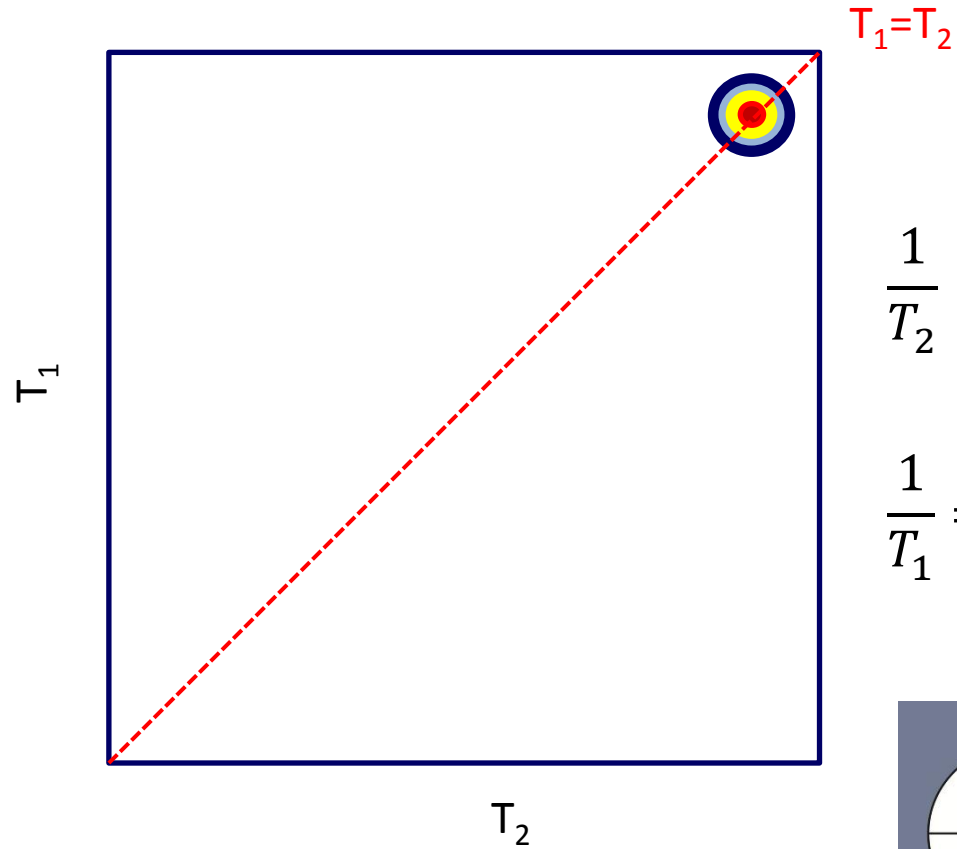
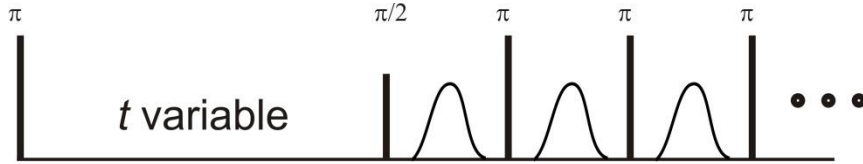
# Mapas bidimensionales.

## Intercambio: T2/T2



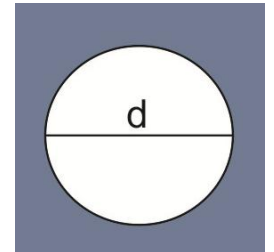
$$d = \sqrt{2Dt}$$

# Mapas bidimensionales: T1/T2

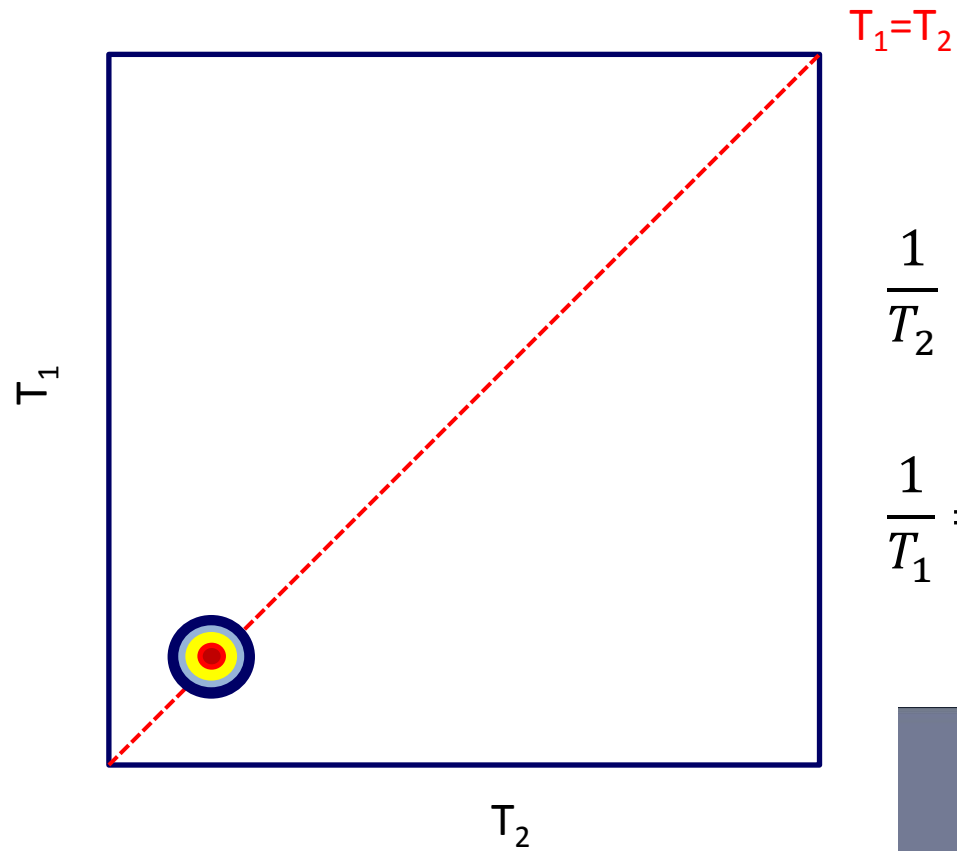
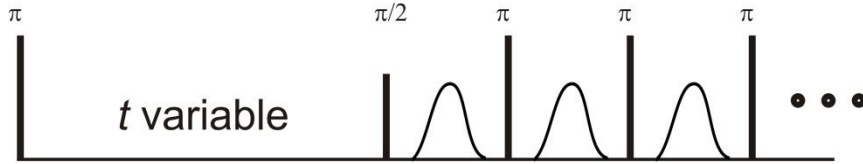


$$\frac{1}{T_2} = \rho \frac{S}{V}$$

$$\frac{1}{T_1} = \rho \frac{S}{V}$$

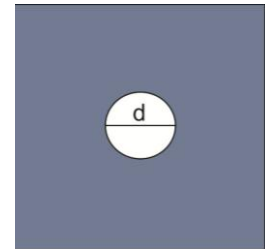


# Mapas bidimensionales: T1/T2

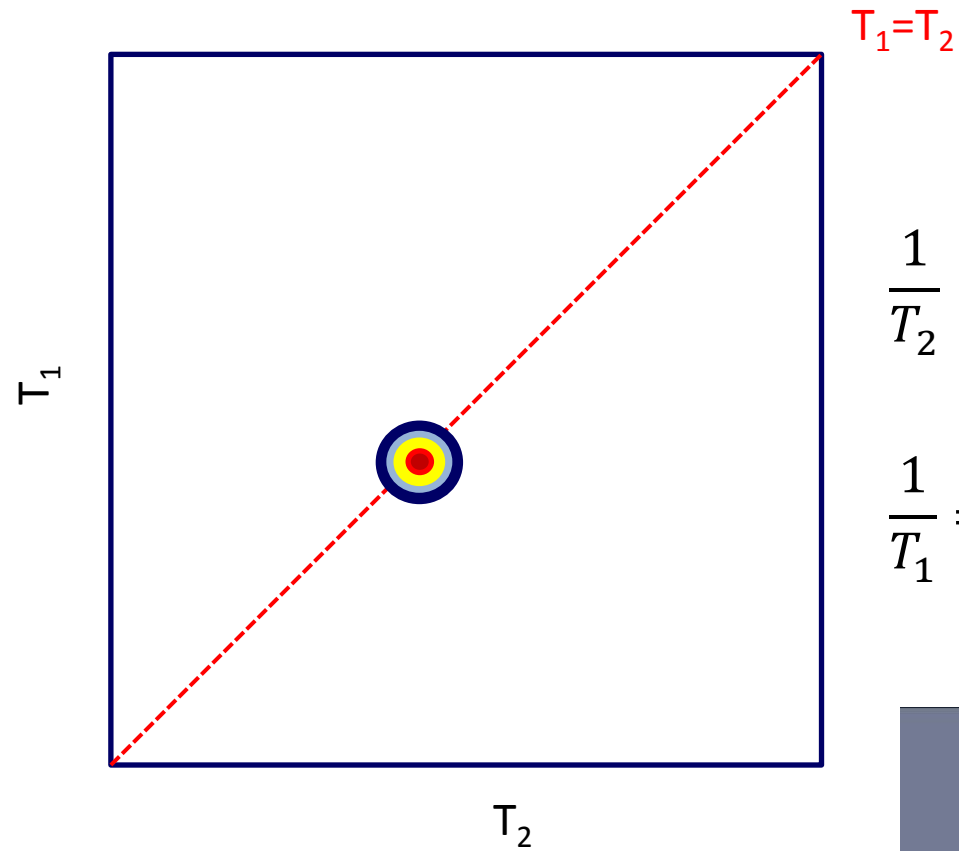
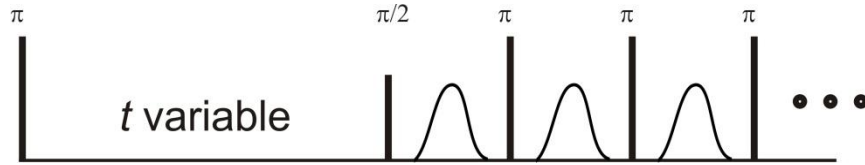


$$\frac{1}{T_2} = \rho \frac{S}{V}$$

$$\frac{1}{T_1} = \rho \frac{S}{V}$$

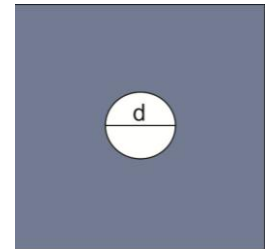


# Mapas bidimensionales: T1/T2

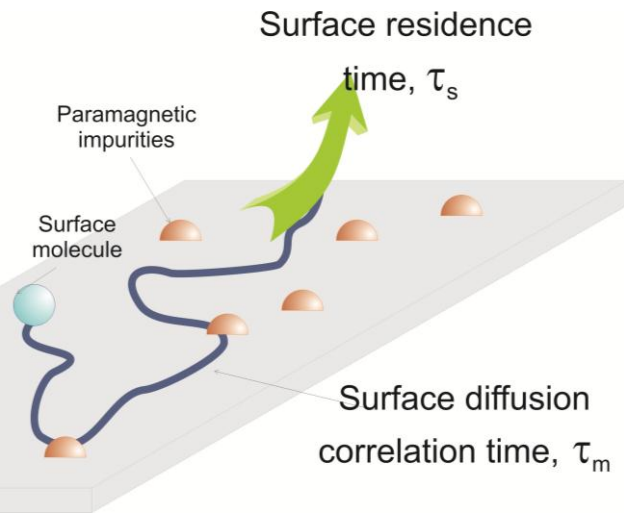
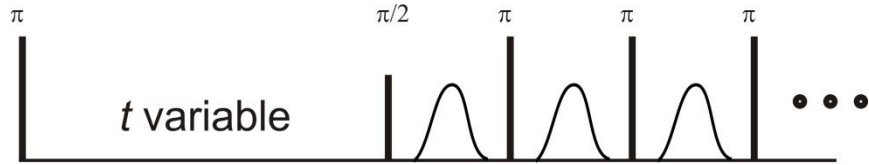


$$\frac{1}{T_2} = \rho \frac{S}{V}$$

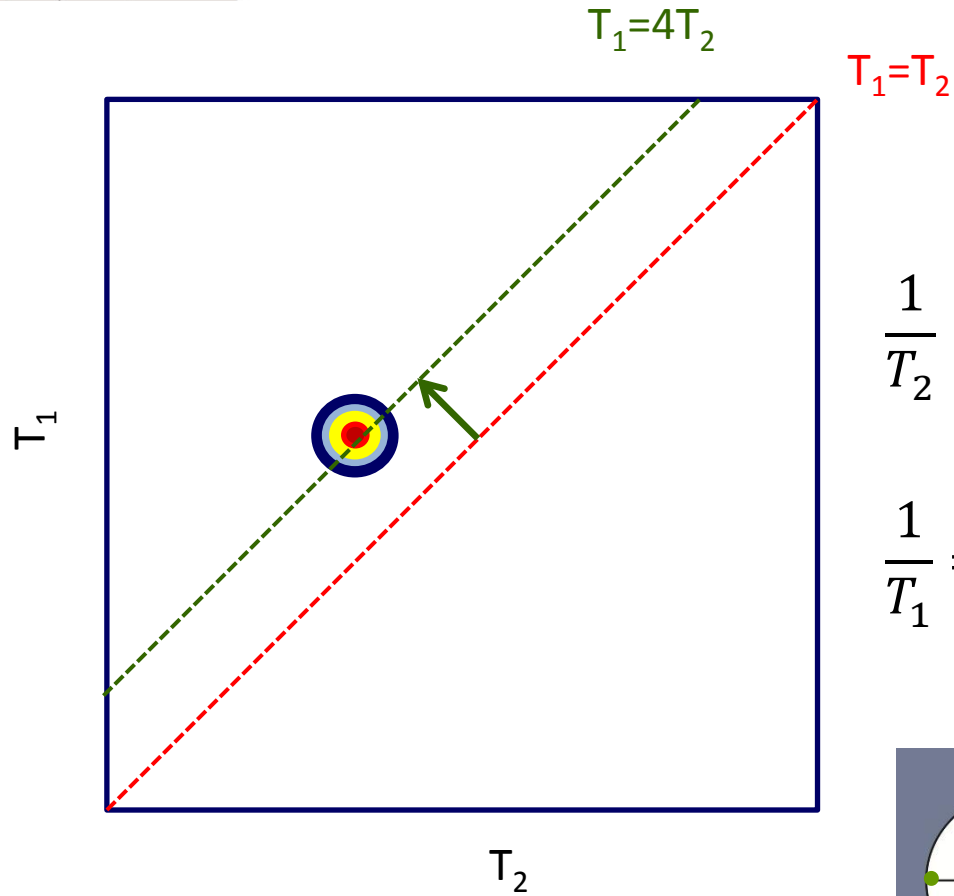
$$\frac{1}{T_1} = \rho \frac{S}{V}$$



# Mapas bidimensionales: T1/T2

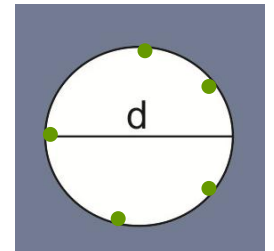


$$\frac{T_1}{T_2} = f(\omega_0, \tau_s, \tau_m)$$



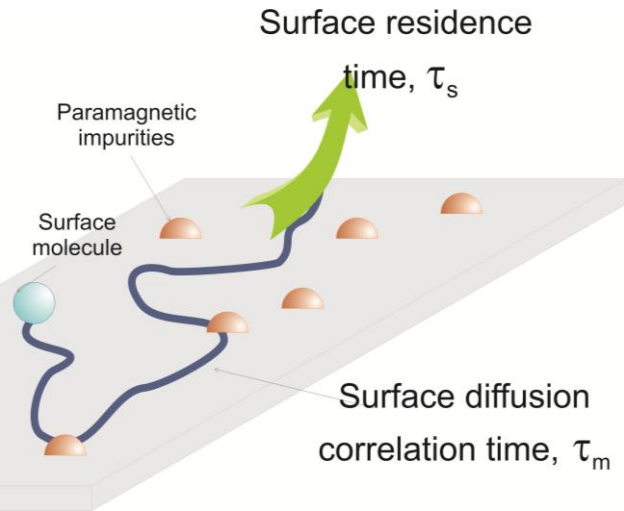
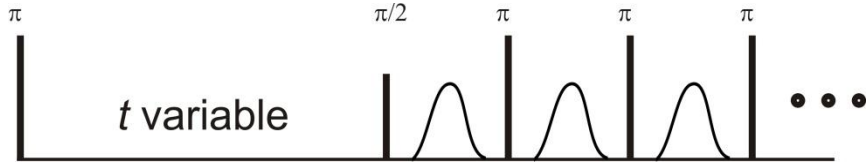
$$\frac{1}{T_2} = \rho \frac{S}{V}$$

$$\frac{1}{T_1} = \rho \frac{S}{V}$$

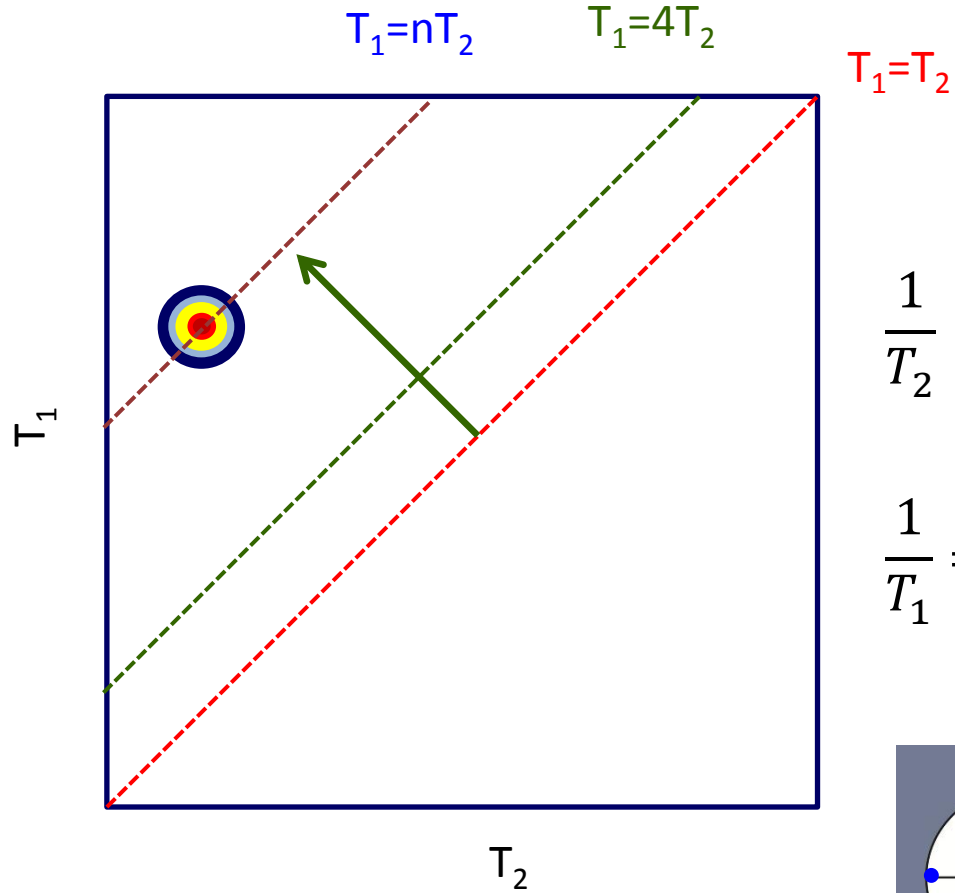




# Mapas bidimensionales: T1/T2

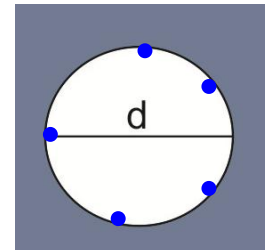


$$\frac{T_1}{T_2} = f(\omega_0, \tau_s, \tau_m)$$

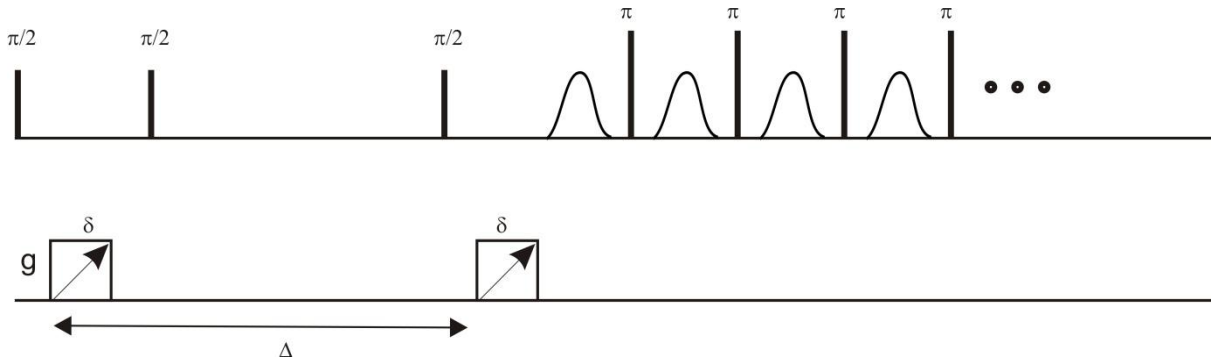


$$\frac{1}{T_2} = \rho \frac{S}{V}$$

$$\frac{1}{T_1} = \rho \frac{S}{V}$$



# Mapas bidimensionales: D/T2



$$D \approx 5 \times 10^{-10} \frac{\text{m}^2}{\text{s}^2} T_{2,b}.$$

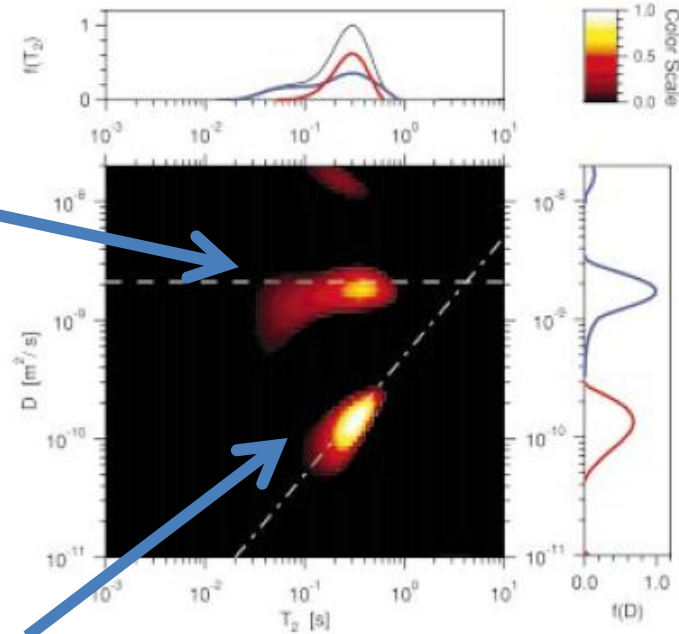
Berea Sandstone



100  $\mu\text{m}$

agua

aceite

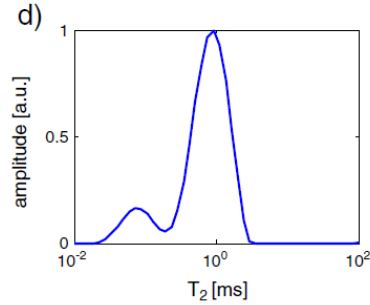
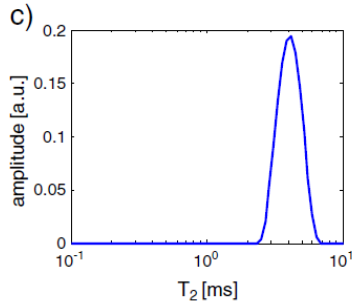


# The roles of hydration and evaporation during the drying of a cement paste by localized NMR

Maxime Van Landeghem <sup>a,b,c</sup>, Jean-Baptiste d'Espinoze de Lacaillerie <sup>a</sup>, Bernhard Blümich <sup>b</sup>, Jean-Pierre Korb <sup>d</sup>, Bruno Bresson <sup>a,\*</sup>

0.4 h

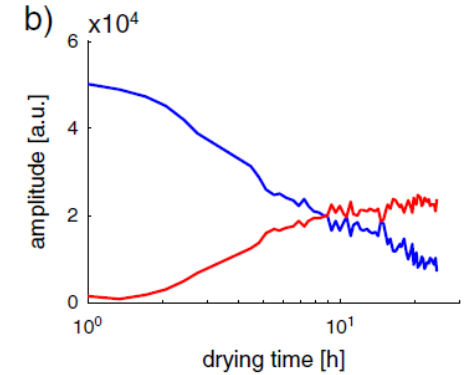
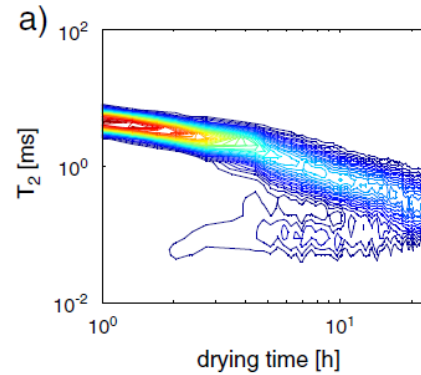
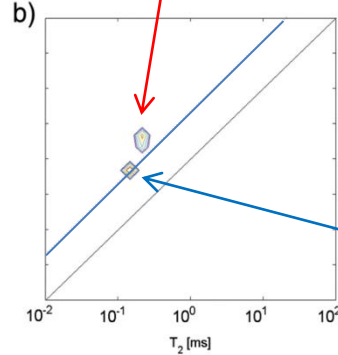
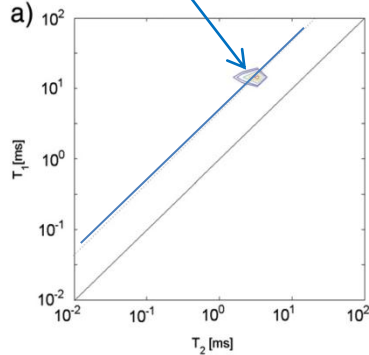
8 h de secado



La resistencia mecánica del cemento está relacionada con la densidad de C – S – H

Agua confinada

CSH

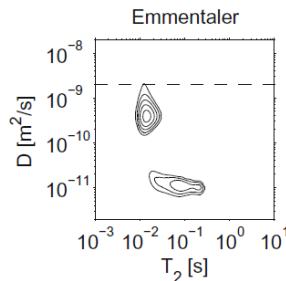
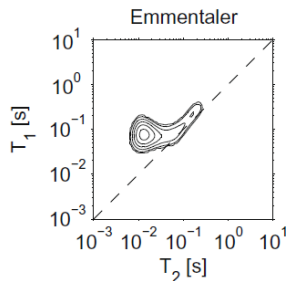
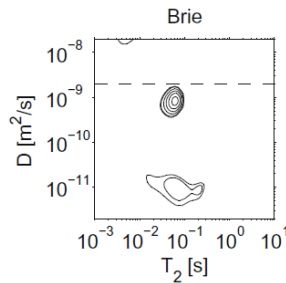
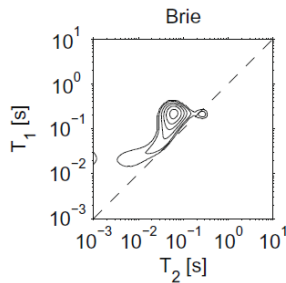
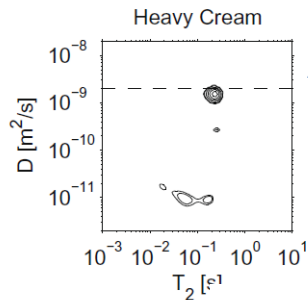
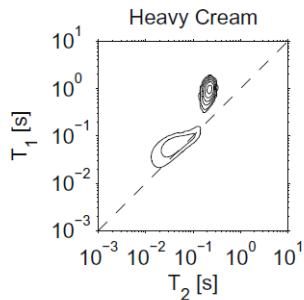
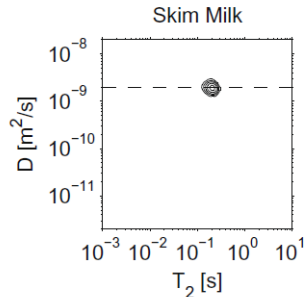
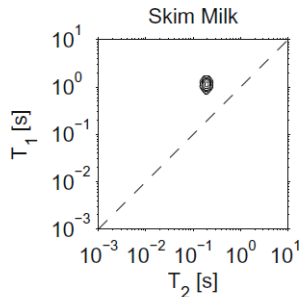


Agua confinada

# A 2D NMR method to characterize granular structure of dairy products

Yi-Qiao Song

Progress in Nuclear Magnetic Resonance Spectroscopy 55 (2009) 324–334



D(H<sub>2</sub>O)

Crema de leche

50% dilución

